

## レーダー雨量計による短時間降雨予測の検討

京都大学工学部 正員 高柳 琢馬  
 京都大学工学部 正員 椎葉 充晴  
 京都大学大学院 学生員 ○中北 英一

## 1. 概要

本研究では、レーダー雨量計により得られた降雨データを用いて降雨パターンの特性を把握し、それを基礎にしてレーダー雨量計のデータのみに基づく短時間降雨予測（3時間後程度まで）の手法を提案し、その適用例を示す。

## 2. 降雨予測手法の整理

水平面上に設定された直交座標系を  $x, y$  とし、地点  $(x, y)$  の時刻  $t$  での降雨強度を  $z(x, y, t)$  とする。 $x, y$  軸に垂直に  $z$  軸をとったとき、 $z = z(x, y, t)$  は、時刻を固定すれば一つの曲面を表わす。この曲面を降雨強度面とよぶ。短時間予測においては、この降雨強度面の動きとその発達・減衰を量的かつ迅速に予測することが課題となる。

降雨強度の変化は一般に移流を伴なうものと考えられ、その最も簡単なモデルは (1) 式で与えられる。ただし、 $U, V, W$  は一般に  $x, y, z, t$  の関数と考える。(1) 式の解は、(2) 式の特性基礎曲線上で (3) 式を満たす。この形で、 $U, V, W$  に特別な条件を課すことによって種々の予測手法が考えられる。(4) 式は平行移動法に対応し、この条件のもとで、(5) 式は発達・減衰を考えない場合、(6) 式は地形による発達減衰を考える場合、(7) 式はエコー自身の発達・減衰を考える場合にそれぞれ相当する。また、(8) 式には変形テンソル法が対応する。本研究で提案する“重みつき相関法”は (9) 式で表わされる。

## 3. 重みつき相関法

(9) 式を (1) 式に代入し、さらに時刻について離散化して考えると

(10) が得られる。以下、 $u^*, v^*$ ,  $a$ ,  $b$  の決定法について述べる。

$(u^*, v^*)$  を移流ベクトルとよび、次のように決定する。本手法では対象領域を図 1 のようなメッシュに区切って、左端から数えて 1 列目、下端から数えて  $j$  行目のメッシュを  $(i_p, j_p)$  として表わす。さらに、 $(u^*, v^*)$  を求めたいメッシュを  $(i_p, j_p)$  とし、 $z(i, j, 0)$ ,  $z(i, j, -1)$  を各々メッシュ  $(i, j)$  の時刻 0 と -1 での降雨強度とする。そこで、時刻 -1 の降雨強度面を  $x$  方向に  $u$  列、 $y$  方向に  $v$  行動させ、時刻 0 の降雨強度面との対応関係を (12) 式で定義する重みつき相関係数  $R(u, v)$  で評価し、最大の  $R(u, v)$  を与える  $(u, v)$  を移流ベクトル  $(u^*, v^*)$  とする。ここでは、 $(u, v)$  だけ平行移動したときに重なるメッシュについてのみ降雨強度の対応を考えるので、 $\sum_{ij}$  はこの重なるメッシュに関する和である。

また、 $(i_p, j_p)$  付近での降雨強度面の対応を重視することから (11) 式のような  $(i_p, j_p)$  中心の重みを用いることとする。

$a, b$  としては (15) 式を最小にする  $a^*, b^*$  を用いる。これは (15) 式を  $a, b$  で偏微分し 0 と等値して (16) で与えられる。

Takuma TAKASAO, Michiharu SHIIBA, Eiichi NAKAKITA

$$\begin{aligned} \frac{\partial z}{\partial t} + U \frac{\partial z}{\partial x} + V \frac{\partial z}{\partial y} &= W & (1) \\ \frac{dx}{dt} = U, \quad \frac{dy}{dt} = V & \quad \frac{dz}{dt} = W & (2) \quad (3) \\ U = U_0(\text{const.}), \quad V = V_0(\text{const.}) & & (4) \\ W = 0 & & (5) \\ W = W(x, y) & & (6) \\ W = W(x - U_0 t, y - V_0 t) & & (7) \\ U, V, W : \text{linear function} & & (8) \\ \text{of } x, y, z & & \\ U = U(x, y), \quad V = V(x, y), & & (9) \\ W = A(x, y)z + B(x, y) & & \\ z(x, y, k) = & & \\ a(x, y)z(x - u^*(x, y), y - v^*(x, y), k-1) + b(x, y) & & (10) \\ w_{ij}^* = \exp(-\lambda((i - i_p)^2 + (j - j_p)^2)) & & \\ w_{ij} = w_{ij}^*/\sum_{ij} w_{ij}^* & & (11) \\ R(u, v) = S_{-1, 0}/\sqrt{S_{-1, -1} S_{0, 0}} & & (12) \\ z_k = \sum_{ij} w_{ij} z(i + ku, j + kv, k) & & (k = 0, 1) \\ S_{k, m} = \sum_{ij} w_{ij} (z(i + ku, j + kv, k) - \bar{z}_k) & & \\ \times (z(i + mu, j + mv, m) - \bar{z}_m) & & (k, m = 0, -1) \\ J = \sum_{ij} w_{ij} (z(i, j, 0) - az(i - u^*, j - v^*, -1) - b)^2 & & (15) \\ a^* = S_{-1, 0}/S_{-1, -1} & & \\ b^* = \bar{z}_0 - \bar{z}_{-1} S_{-1, 0}/S_{-1, -1} & & (16) \end{aligned}$$

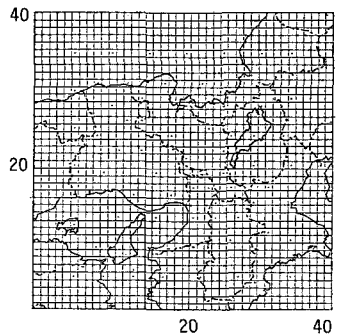


図 1 正方形メッシュ

$(\hat{u}^*, \hat{v}^*)$ ,  $a$ ,  $b$  はあらかじめ設定しておいた基準点だけについて求め、その他のメッシュについては基準点を頂点とした三角形の 3 つの頂点の値より位置の一次関数として求める。ところで、(10) 式では、移流ベクトルは降雨強度面がどこから移って来たのかを表わすもので、どこへ移って行くのかを表わすものではないことになり、地形重視の考え方となる。

#### 4. 適用結果

重みつき相関法により予測を行なったケースと、その時の予測降雨と観測降雨との相関係数を表 1 に示す。さらにケース 4 の移流ベクトルを図 2 に、ケース 1 とケース 4 の 3 時間後の予測降雨と観測降雨の降雨分布図を図 3 に、その両者のスキャッタグラムを図 4 に示す。 $\hat{u}^*$ ,  $\hat{v}^*$ ,  $a$ ,  $b$  を求めた時間間隔はすべて 30 分であり、(11) 式の重み係数  $\lambda$  も常に 0.03 とした。また、1 メッシュは 7 km 四方とした。

移流ベクトルが抽出されたのはケース 4 だけであった。別に降雨パターンの特性を調べてみると、降雨強度面の z 軸方向の移動はよく見られるが、水平方向の移動は数時間という時間スケールであってもほとんど

見られなかった。これらにより、発達・減衰の評価が重要となることがわかる。

各ケースの相関係数はかなり高く、しかもスキャッタグラムでは 45° の線を中心とした分布をしている。図には示していないが、流域平均雨量を調べてみると、その増化・減少の傾向もよくとらえている。実際 (10) 式は、1) 降雨強度の大きいところ程増化量が大、2) 全体的に一様に増大、3) 降雨強度の小さいところ程増化量が大、4) 降雨強度の大きいところ程減少量が大、5) 全体的に一様に減少、6) 降雨強度の小さいところ程減少量が大、といった 6 つの場合に対応できる。ケース 2 では、今述べた 2) の場合をうまくとらえていたが、 $a$ ,  $b$  を求めた際の降雨強度の変化傾向が持続しなかったために予測値と観測値の相関係数が他のケースに比べて多少小さくなっている。

#### 5. 今後の課題

本手法を実用化するには、さらに、基準点の個数・メッシュの大きさが予測精度に及ぼす影響や、リードタイムと予測誤差の統計的関係を明らかにする必要がある。

#### 参考文献

大倉・石崎・中尾・森本：第 27 回水理講演会論文集、1983  
竹内：第 22 回水理講演会論文集、1978

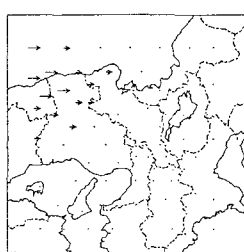


図 2 移流ベクトル  
(ケース 4)

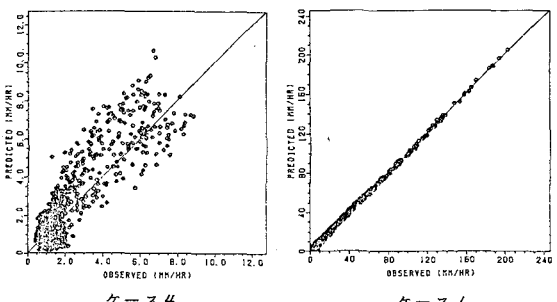
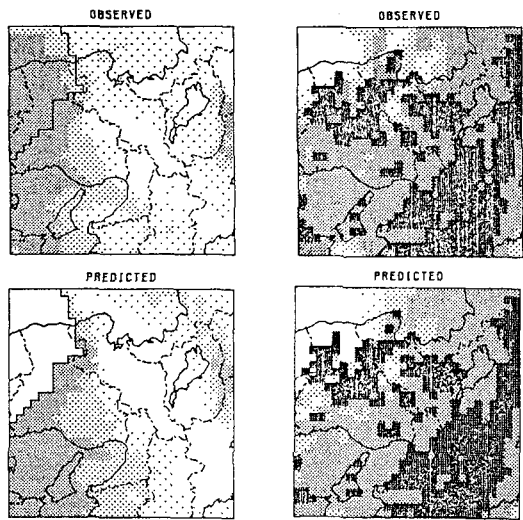


図 3 予測降雨と観測降雨の分布図

表 1 予測降雨と観測降雨の相関係数

予測時点	原因	相関係数					
		30 分後	60 分後	90 分後	120 分後	150 分後	180 分後
1 82. 8. 1. 4	台風	.999	.999	.999	.999	.999	.999
2 81. 10. 8. 19	寒冷	.993	.977	.952	.924	.893	.867
3 82. 11. 22. 23	寒冷	1.00	1.00	.999	.999	.999	.999
4 82. 7. 24. 4	停滞	.986	.974	.962	.942	.912	.881
5 82. 8. 1. 17	台風	1.00	1.00	.999	.999	.999	.999
6 82. 8. 1. 28	台風	1.00	1.00	.999	.999	.999	.999
7 82. 8. 2. 6	台風	1.00	1.00	.999	.999	.999	.999
8 82. 8. 2. 9	台風	1.00	1.00	1.00	1.00	1.00	1.00



ケース 4 ケース 1

図 4 予測降雨と観測降雨のスキャッタグラム